

# Масштабируемая массивно-параллельная реализация схемы переноса примесей MPDATA на распределенных GPU/SMP системах

Левченко Олег – Петров Артем – Микушин Дмитрий

Геофизический Центр РАН – СибНИГМИ РАН – ИВМ РАН

октябрь, 2010

- Физическая задача
- Выбор численного метода
- Численная схема MPDATA
- Проект параллельной реализации MPDATA для гибридных суперкомпьютеров
  - Общая схема вычислений
  - Архитектура GPU GT200
  - Анализ реализации для GPU
  - Метод декомпозиции прямоугольной сетки
- Заключение

# Перенос примеси как физическая задача



- Тип источника (точечный, распределённый)
- Тип аэрозоля (пепел, песок, соль, ...)
- Распределение размеров частиц (мониторинг концентрации опасной мелкодисперсной пыли)
- Динамика: эмиссия (+ сальтация), перенос (+ химические процессы), осаждение

# Модели и численные схемы

- Физические уравнения модели прогноза погоды WRF v.3 [1]
- Численные схемы адвекции
  - Ориентированы на пассивные примеси
  - Сохранение массы
  - Эйлеровы модели
    - Ограничения на временной шаг
  - Полу-Лагранжевые модели:
    - Большие временные шаги без потери стабильности
    - Порядок точности
    - Сохранение массы/положительно-определенность
    - Overshooting/undershooting

$$\partial_t U + (\nabla \cdot \mathbf{V}u) - \partial_x(p\partial_\eta\phi) + \partial_\eta(p\partial_x\phi) = F_U \quad (2.3)$$

$$\partial_t V + (\nabla \cdot \mathbf{V}v) - \partial_y(p\partial_\eta\phi) + \partial_\eta(p\partial_y\phi) = F_V \quad (2.4)$$

$$\partial_t W + (\nabla \cdot \mathbf{V}w) - g(\partial_\eta p - \mu) = F_W \quad (2.5)$$

$$\partial_t \Theta + (\nabla \cdot \mathbf{V}\theta) = F_\Theta \quad (2.6)$$

$$\partial_t \mu + (\nabla \cdot \mathbf{V}) = 0 \quad (2.7)$$

$$\partial_t \phi + \mu^{-1}[(\mathbf{V} \cdot \nabla \phi) - gW] = 0 \quad (2.8)$$

# Характерные особенности MPDATA

Специально разработана под метеорологические нужды:

- Положительная определенность
- Сохранение массы
- Вычислительная простота, сравнимая с донорной схемой

# Расширения MPDATA

Численная модель вычислений MPDATA хорошо теоретически проработана и включает следующие расширения [4]:

- Возможность увеличить пространственную точность до третьего порядка, временную точность до пятого
- Возможность эмпирической подстройки для увеличения точности без увеличения вычислительной сложности
- Физическая диффузия в составе адвективного потока
- Транспорт скалярного поля с переменным знаком
- Моделирование дивергентных полей

# Почему MPDATA?

- Численная модель вычислений MPDATA потенциально может быть оптимизирована под CUDA:
  - Соотношение доступов в память к вычислениям
  - Явная модель вычислений
- Является частью численных гидродинамических моделей погоды EULAG и NH3D

# Одномерный случай - формулировка адвекции[3]

1  $\frac{\partial \Psi}{\partial t} + \frac{\partial(\Psi \cdot v)}{\partial x} = 0$ , где  $\Psi$  - концентрация,  $v$  - скорость ветра

2 
$$\Psi_i^{n+1} = \Psi_i^n + \overbrace{[F(\Psi_{i-1}^n, \Psi_i^n, U_{i-1/2}^{n+1/2})]}^{\text{входной поток}} - \overbrace{[F(\Psi_i^n, \Psi_{i+1}^n, U_{i+1/2}^{n+1/2})]}^{\text{выходной поток}}$$

3  $F(\Psi_L, \Psi_R, U) = 0.5 \cdot (U + |U|) \cdot \Psi_L + 0.5 \cdot (U - |U|) \cdot \Psi_R$ , где  $U = v \cdot \frac{\Delta t}{\Delta x}$

4  $\max_{i,n} |v_{i \pm 1/2}| \cdot \frac{\Delta t}{\Delta x} \leq 1$  - условие стабильности схемы

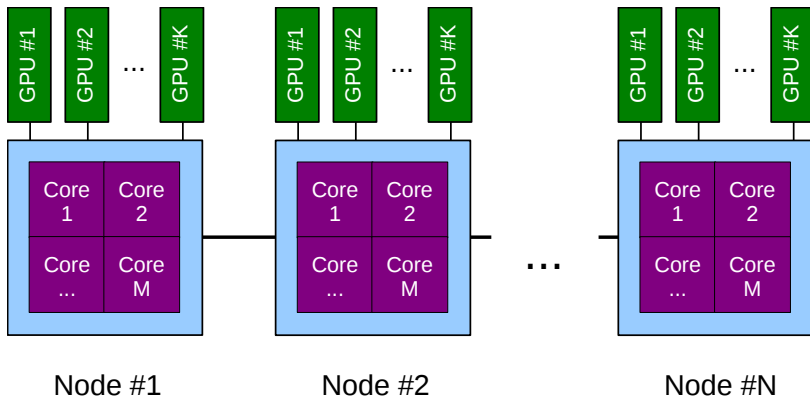
5  $O(\Delta x)$  - недостаточно для практических применений



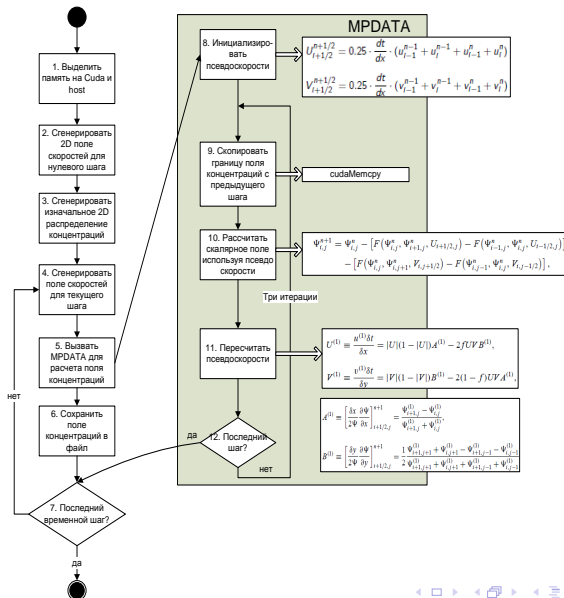
# Одномерный случай - MPDATA[3]

- ❶  $\frac{\partial \Psi_i^n}{\partial t} + \frac{\partial(\Psi_i^n \cdot v)}{\partial x} = \frac{\partial[\frac{1}{2} \cdot (|v| \cdot \Delta x - v^2 \cdot \Delta t) \cdot \frac{\partial \Psi_i^n}{\partial x}]}{\partial x}$  вместо  $\frac{\partial \Psi_i^n}{\partial t} + \frac{\partial(\Psi_i^n \cdot v)}{\partial x} = 0$
- ❷  $\frac{\partial \Psi}{\partial t} + \frac{\partial(\Psi \cdot v)}{\partial x} = \frac{\partial(K \cdot \frac{\partial \Psi}{\partial x})}{\partial x}$  где  $K = \frac{1}{2} \cdot (|v| \cdot \Delta x - \Delta t \cdot v^2)$  - коэффициент диффузии
- ❸  $\frac{\partial \Psi}{\partial t} - \frac{\partial(K \cdot \frac{\partial \Psi}{\partial x})}{\partial x} = 0$  - "скрытое" уравнение адвекции
- ❹  $\frac{\partial \Psi}{\partial t} + \frac{\partial(\Psi \cdot v_{diff})}{\partial x} = 0$  где  $v_{diff} = -\frac{K}{\Psi} \cdot \frac{\partial \Psi}{\partial x}$
- ❺  $u_{antidiff} = -u_{diff}$  - "проигрыш" диффузии назад во времени
- ❻  $\Psi_i^* = \Psi_i^n + [F(\Psi_{i-1}^n, \Psi_i^n, U_{i-1/2}^{n+1/2}) - F(\Psi_i^n, \Psi_{i+1}^n, U_{i+1/2}^{n+1/2})]$
- ❼  $\Psi_i^{n+1} = \Psi_i^* + [F(\Psi_{i-1}^*, \Psi_i^*, v_{i-1/2}^{antidiff}) - F(\Psi_i^*, \Psi_{i+1}^*, v_{i+1/2}^{antidiff})]$  где  $v_{i+1/2}^{antidiff} = \frac{(|v_{i+1/2}| \cdot \Delta x - \Delta t \cdot v_{i+1/2}^2) \cdot (\Psi_{i+1}^* - \Psi_i^*)}{(\Psi_i^* + \Psi_{i+1}^* + \epsilon) \cdot \Delta x}$
- ❽  $O(\Delta x^2)$  - достаточно для практических применений

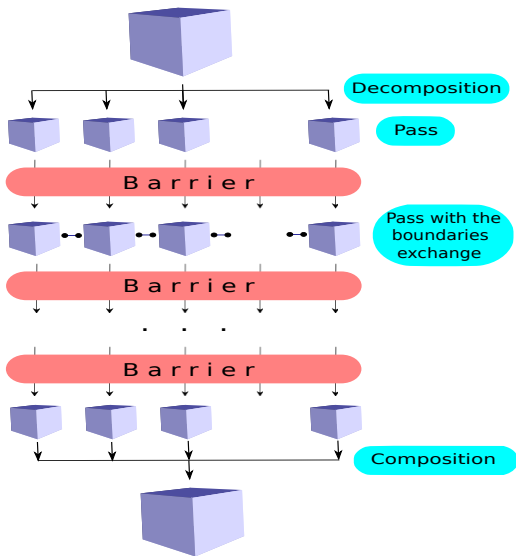
# Целевая гибридная вычислительная система



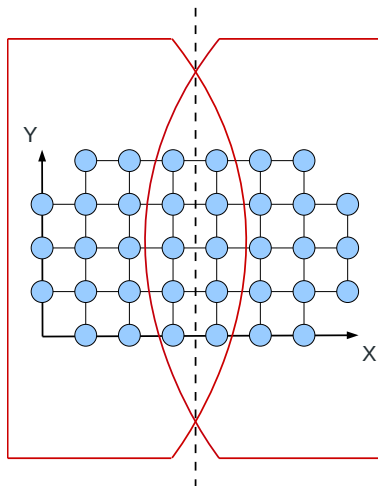
# Структура GPU-CPU программного комплекса[2]



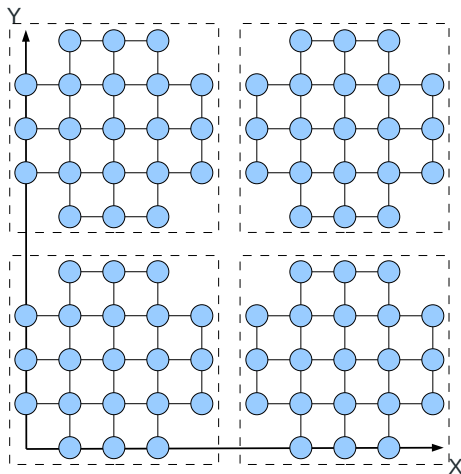
# Организация многопоточности



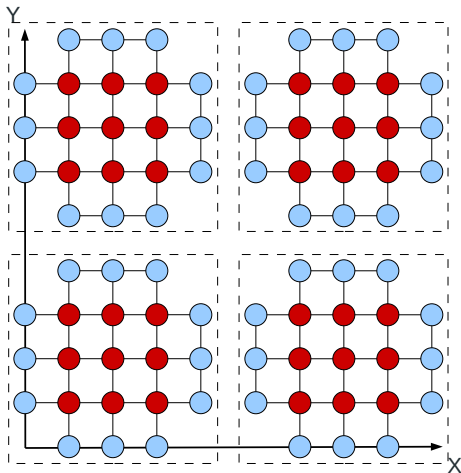
# Дублирование границ при декомпозиции



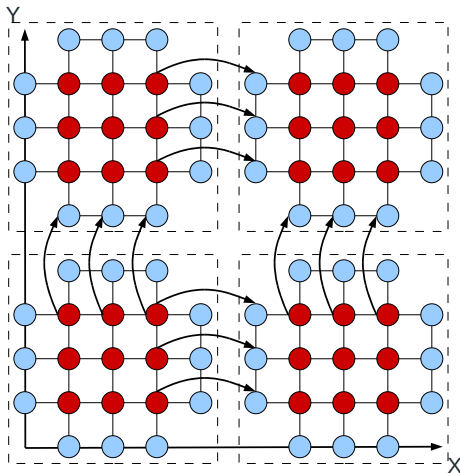
# Данные в распределённой памяти



# Параллельный расчёт внутренних узлов

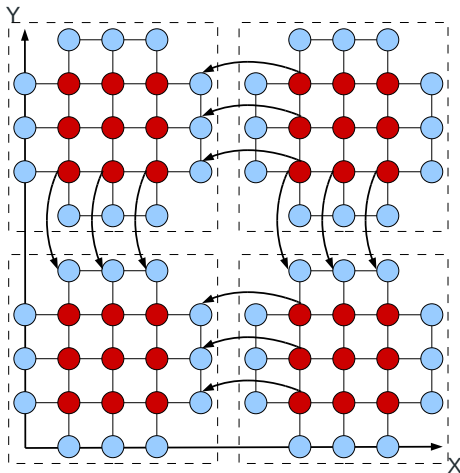


# Синхронизация граничных узлов





# Синхронизация граничных узлов



- Предназначена для осуществления полного цикла декомпозиции
- Модульная структура: ядро и вспомогательные компоненты (тайминг, мультигрид и генераторы)
- Предметно не зависима
- Реализована двухуровневая декомпозиция

# Двухуровневая декомпозиция

- Внутри каждой подобласти происходит дополнительное выделение локальных подобластей
- Между связанными областями устанавливаются ссылки
- Все ссылки ориентированы по таблице с фиксированными индексами
- Обмен данными происходит только между локальными граничными подобластями

- Изучена предметная область численных решений уравнения адвекции
- Протестирована последовательная версия алгоритма MPDATA
- Начата разработка CUDA реализации алгоритма MPDATA
- Реализована проблемно-независимая распределенная среда обмена границами



## A Description of the Advanced Research WRF Version 3.

[http://www.mmm.ucar.edu/wrf/users/docs/arw\\_v3.pdf](http://www.mmm.ucar.edu/wrf/users/docs/arw_v3.pdf).



## D. N. Mikushin.

Численное моделирование мезомасштабного переноса примеси над гидрологически неоднородной поверхностью.



## P. K. Smolarkiewicz.

A simple positive definite advection scheme with small implicit diffusion.



## P. K. Smolarkiewicz and L. G. Margolin.

Mpdata: A finite-difference solver for geophysical flows.